

FIGURE 1 – Stratégie de synthèse du catalyseur thermosensible a) Synthèse du polyNIPAM/NASI b) Synthèse du ligand bipyridine c) Fonctionnalisation du polyNIPAM/NASI d) Complexation de Cu(II) par les ligands bipyridine bidendate

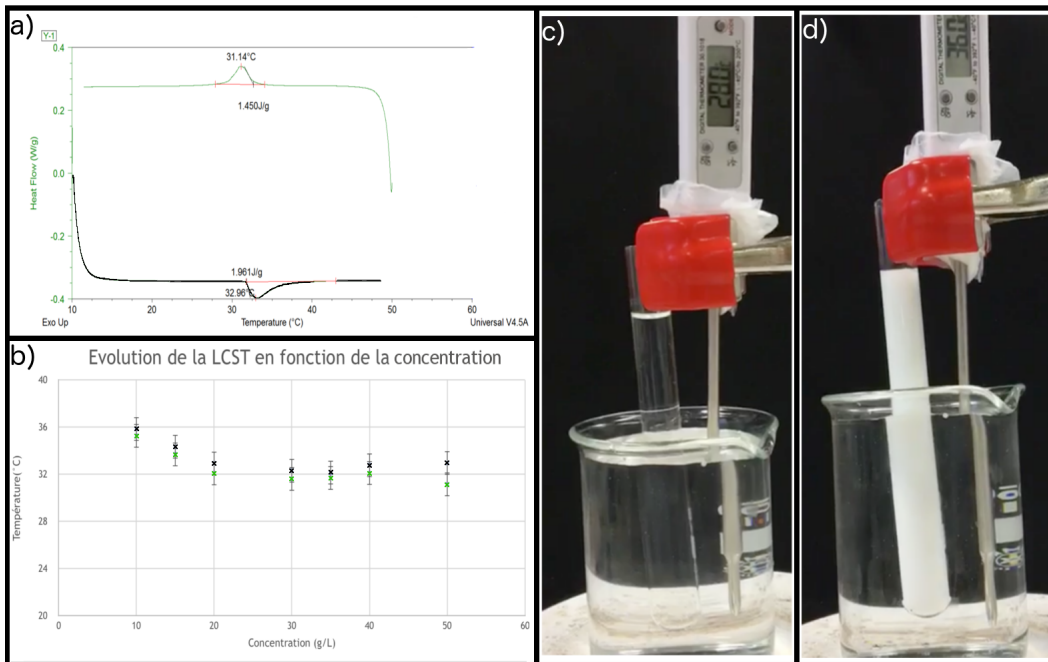


FIGURE 2 – Mise en évidence du caractère thermosensible du polyNIPAM/NASI a) Exemple d'une DSC du polyNIPAM/NASI en chauffage (noir) et en refroidissement (courbe verte) (concentration 50g/L) b) Évolution de la LCST en fonction de la concentration de polyNIPAM/NASI en chauffage (noir) et en refroidissement (vert) c) Échantillon de polyNIPAM/NASI en dessous de la LCST d) Échantillon de polyNIPAM/NASI au dessus de la LCST

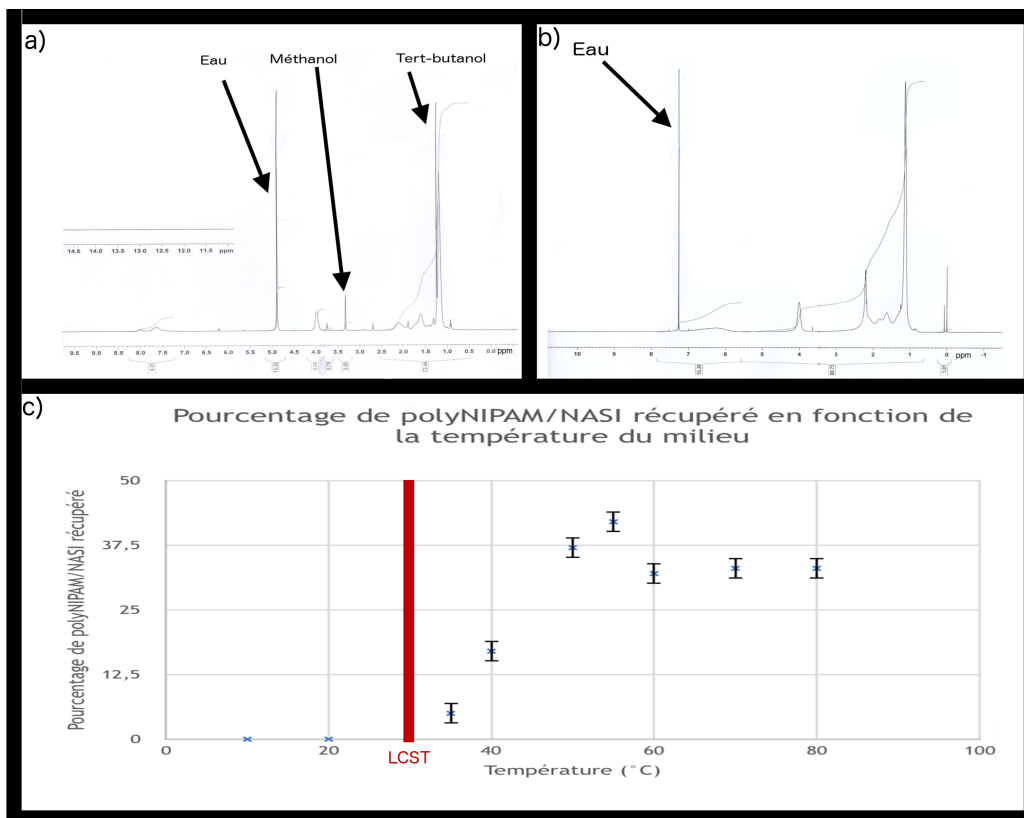


FIGURE 3 – Détermination de l'efficacité de récupération par centrifugation a) Spectre RMN du polyNIPAM/NASI avant dissolution dans l'eau b) Spectre RMN du polyNIPAM/NASI juste après récupération c) Taux de récupération du polyNIPAM/NASI en fonction de la température à laquelle on centrifuge l'échantillon